

## ملخص البحث :

في هذا البحث تم استخدام تقنية ليزر المليون - نيون (He-Ne Laser) ذو الطول الموجي ( $0.6328\mu m$ ) لقياس سرعة جبهة اللهب الطباقية (Laminar Flame Speed) لخليط الميثان - الهواء مسبق الخلط وذلك بتحديد موقع جبهة اللهب في اسطوانة الاحتراق من خلال قطع جبهة اللهب شعاع الليزر بصورة عمودية عند مسافات محددة وحساب الزمن الذي استغرقته جبهة اللهب لقطع تلك المسافات المحددة.

تمت القياسات عند الظروف ( $P=1atm, T=298K$ ) ولدى واسع من النسبة المكافئة (Equivalence Ratio)، جميع تلك القياسات أجريت خلال فترة ثبوت الضغط وذلك لاستخدام طريقة نسبة الكثافة (Density Ratio Method) في حساب سرعة انتشار اللهب الطباقية (Laminar Burning Velocity) والتي تمثل ثابت فيزيو كيميائي للخليط.

مقارنة نتائج البحث الحالي مع النتائج المنشورة لسرعة انتشار اللهب الطباقية دلت على توافق كبير بينهما مما يؤكد فعالية التقنية المستخدمة في هذا البحث.

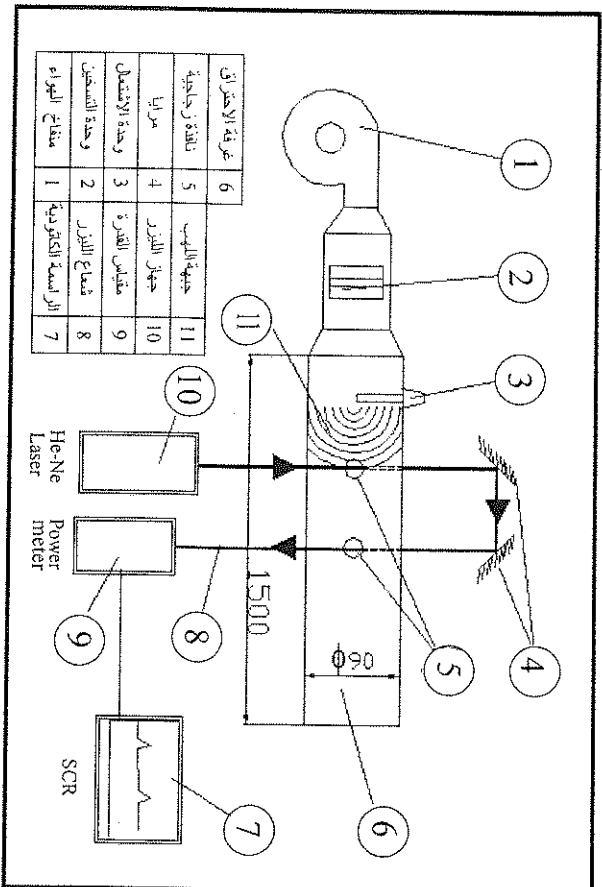
### 1- المقدمة :

إن قياس كل من سرعة جبهة اللهب الطباقية وسرعة انتشار اللهب الطباقية لاختلاف أخطاؤ الوقت العواء له أهمية كبيرة في دراسة أداء منظومات الاحتراق ومنها محركات الاحتراق الداخلي وكذلك فإن معظم المادح الرياضية للاحتراق الاضطرابي يعتمد في الأساس على قيم دقيقة لسرعة انتشار اللهب الطباقية وعلى أساس هذه الأهمية فقط قام عدد كبير من الباحثين والمؤسسات البحثية بتطوير أنظمة وتقنيات لقياس كل من سرعة جبهة اللهب وسرعة انتشار اللهب. هذه التقنيات في مجملها تعتمد على خمس إحدى النظواهر المرافقة لجبهة اللهب بحيث يتم تحديد موقع جبهة اللهب. وبالتالي قياس سرعة جبهة اللهب ومن خلالها استنتاج سرعة انتشار اللهب من أبرز هذه التقنيات : استخدام المردوح الحراري ، و مسبار التأين ، و قياس الضغط المرافق لانتشار اللهب . وهذا بالإضافة إلى التقنيات البصرية يختلف أنواعها والتقنية الضوئية : ومن خلال استعراض هذه التقنيات يمكن استنتاج إن التقنيات البسيطة والرخيصة غير دقيقة في حين إن التقنيات الدقيقة تكون عالية الكلفة وتحتاج إلى إمكانية تقنية متقدمة للاستخدام وهذا يجعل من الضروري التفكير بتقنيات بسيطة وذات دقة عالية .

في هذا البحث لم يعتمد على خمس إحدى الظواهر المرافقة لجبهة اللهب حيث لم يتم قياس درجة الحرارة أو الضغط أثناء الاحتراق وإنما تم الاستفادة من ظاهرة تغير قدرة الليزر عند اعتراضه ، هنا تم اعتراض الليزر عند مرور جبهة اللهب خلاله ، حيث تم تحديد سرعة هذه الجبهة داخل غرفة الاحتراق من خلال اعتراض جبهة اللهب شعاع الليزر بصورة عمودية وعلى مسافات محددة وتحديد الفترة الزمنية الحاصلة بين تعبيرين لقسرة الليزر (الفاصلة الزمنية بين مراحل قطع جبهة اللهب لشعاع الليزر) .

## 2- الجهاز المستخدم:

يتكون الجهاز المستخدم بصورة أساسية من جزئين، الجزء الأول غرفة الاحتراق الاستوائية الشكل، بالإضافة إلى عدد من الأجهزة و الملحقات الضرورية لتحضير الخليط وعملية الإشعال أما الجزء الثاني فهو منظومة القياس باستخدام جهاز الليزر ومرآيا ومقياس قدرة الليزر وجهاز الراسمة الكاثودية وبين شكل (1) مخطط للجهاز المستخدم.



شكل (1) مخطط للجهاز المستخدم

## 3- تحضير خليط الوقود:

إن من أهم العوامل المؤثرة على سرعة جبهة اللهب هي نسبة الخلط بين الوقود والهواء والتي يعبر عنها بواسطة النسبة المكافئة (Equivalence Ratio  $\phi$ ) والتي تحسب من معادلة (1)

$$\phi = \frac{\left(\frac{F}{A_s}\right)}{\left(\frac{F}{A_s}\right)_s} \quad (1)$$

حيث  $(F/A)$  هي نسبة الوقود إلى الهواء الحقيقية إما  $(F/A)$  فهي نسبة الوقود إلى الهواء المثالية وللخليط الكيميائي الصحيح تكون  $(\phi = 1)$  وللخليط الغني  $(\phi > 1)$  وإما للخليط الضعيف  $(\phi < 1)$  لذلك يجب الاهتمام بإعداد الخليط ليعطي النسبة الملائمة المطلوبة. تم إعداد الخليط عن طريق قياس الضغط الجزئي لكل من الوقود والهواء بواسطة مقياس الضغط التفاضلي حيث يتم تفريغ الأنبوب من الهواء ونواتج الاحتراق بواسطة المضخة المفرغة ثم غسل الأنبوب بالهواء لثلاث مرات إلى أن يتم التأكد من خلو الأنبوب من نواتج الاحتراق ثم يتم إدخال الهواء الجفف من بخار الماء لضمان أن تكون مكونات الهواء  $O_2, N_2$  وعن طريق نسبة الضغط الجزئية يتم تحديد النسبة الملائمة.

الميلان المستخدم في هذا البحث كان بنقوة مقدارها 99.21% وللتأكد من كفاءة نظام إعداد الخليط فقد تم إجراء تحليل كيميائي لعينات من الخليط عند نسب خليط مختلفة وأثبتت النتائج دقة نظام إعداد الخليط.

يتم تسخين الهواء الداخل والأنبوب والسيطرة على درجة الحرارة الابتدائية للخليط بواسطة وحدة تسخين الهواء الداخل والشريط المسخن المثبت حول الأنبوب من الخارج، حيث تعتبر درجة الحرارة الابتدائية من أهم العوامل المؤثرة على سرعة انتشار اللهب ووجود مروحة محورية داخل الأنبوب تعمل على تجانس الخليط من حيث المكونات ودرجة الحرارة.

بعد إن يتم تحضير الخليط والسيطرة على درجة حرارته وضمان تجانس يتم إيقاف عمل الروحة والانتظار لمدة بحدود خمس دقائق وذلك لضمان زوال تأثير الروحة على انتشار اللهب طباقياً، بعد ذلك يتم إشعال الخليط عن طريق وحدة الإشعال حيث بعد إعطاء شرارة الإشعال تتكون جبهة لب و تنتقل خلال خليط الهواء والوقود غير المحترق بسرعة تمثل سرعة جبهة اللهب.

## 4- تقنية القياس المستخدمة :

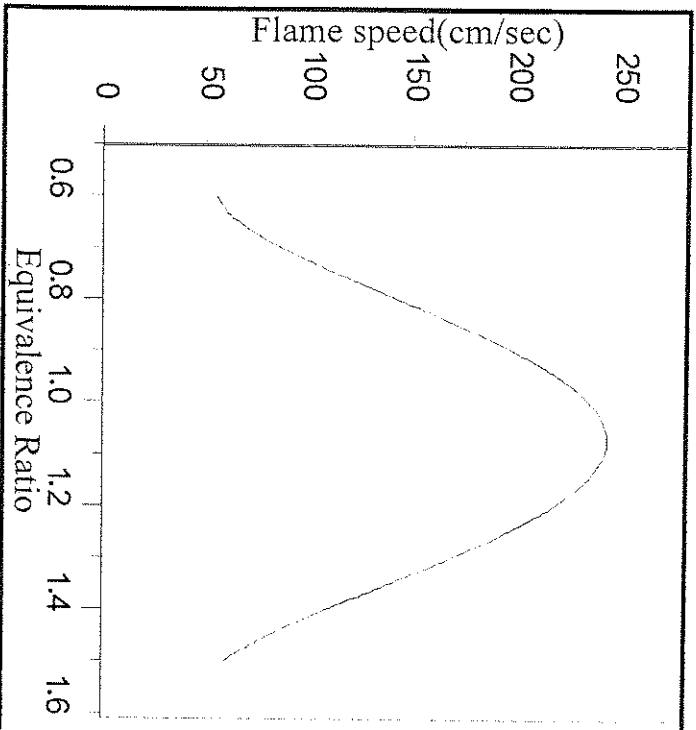
في هذا البحث تم استخدام ليزر ( He - Ne ) ذو اللون الاحمر ( $\lambda=0.6328\mu\text{m}$ ) لقياس سرعة جبهة اللهب الطباقية من خلال امرار الليزر في غرفة الاحتراق الاسطوانية الشكل بصورة مستعرضة عبر اربعة نوافذ زجاجية دائرية الشكل ذات قطر (5mm) موزعة على جانبي الاسطوانة على مسافة (250mm) وبصورة متقابلة ، تعتمد اول النافذتين المتقابلتين عن مصدر اشعاع الخليط (شمعة القسطح) مسافة (200mm) لضمان حصول نمو متكامل لجبهة اللهب .

وتلخص طريقة القياس بالشكل التالي يتم امرار شعاع الليزر الثولد بواسطة جهاز الليزر ذو القدرة (10mW) في اول النافذتين المتقابلتين ويتم عكسه بواسطة مرآتين عاكستين كلياً للطول الموجي ( $\lambda=0.6328\mu\text{m}$ ) من أجل امراره في النافذتين المتقابلتين الاخرتين ليتم استقباله بواسطة مقياس القسطرد ذو حساسية ( $4.28\text{mA/W}$ ) عند الطول الموجي ( $0.6328\mu\text{m}$ ) والربوط بجهاز الراسمة الكاثودية (SCR) والتي عليها يمكن عرض منحنى قدرة الليزر مع الزمن .

عندما يتعرض شعاع الليزر النافذ من النافذتين الأوليتين عبر غرفة الاحتراق بواسطة جبهة اللهب يحصل تشوية لقدرة الليزر يؤثر على الراسمة الكاثودية وعند وصول جبهة اللهب الى النافذتين التاليتين سوف يتعرض شعاع الليزر مرة أخرى ويحصل تشوية ثانية لقدرة الليزر يؤثر على العارض .

يستفاد من الفترة الزمنية الحاصلة بين التشويه الأول لليزر و التشويه الثاني لتحديد الزمن الذي استغرقته جبهة اللهب لقطع المسافة المعروفة بين النافذتين ، وبقسمة المسافة بين النافذتين (250mm) على الزمن الذي استغرقته جبهة اللهب لقطع المسافة المعروفة بين النافذتين أمكن قياس سرعة جبهة اللهب الطباقية ولدى واسع من النسب المكافئة ، الشكل (2) يوضح معدل تغير سرعة جبهة اللهب الطباقية لخليط الميثان — الهواء مع

النسبة المكافئة لعشر تجارب لكل نسبة مكافئة. جميع القياسات أجريت عند درجة حرارة ابتدائية مقدارها (K298) وضغط (atm1).



شكل (2) تغير سرعة جبهة اللهب الطباقية مع تغير النسبة المكافئة

### 3- المناقشة والاستنتاجات :

- 1 إن احد ابرز أهداف البحث هو إثبات إمكانية استخدام نظام القياس الجديد في قياس ابرز معالم عملية انتشار اللهب وخاصة سرعة انتشار اللهب ولهذا السبب تم استخدام غاز الميثان لإجراء القياسات عليه وذلك بسبب كون النتائج العملية لخاريط الميثان - الهواء متوفرة بشكل اكبر من النتائج العملية للأحلاط الأخرى مما يوفر إمكانية جيدة لأجراء المقارنة.

### النتائج التي تم الحصول عليها في هذا البحث سيتم مناقشتها على النحو التالي :-

#### 1-3 سرعة جبهة اللهب :-

إن جبهة اللهب تتحرك بسرعة ناتجة عن سرعة انتشار اللهب وسرعة الغاز غير المحترق الذي يتحرك إمامها، سرعة انتشار اللهب تعتمد بشكل أساسي على معدل التفاعل الكيميائي والذي يعتمد بدوره على درجة حرارة اللهب إذ يزداد معدل التفاعل الكيميائي بزيادة درجة حرارة اللهب ، أما سرعة الغاز غير المحترق فهي أساساً ناتجة عن التمدد الحراري لذلك الغاز وهذا التمدد ناتج عن انتقال الحرارة بالتوصيل والحمل والإشعاع من جبهة اللهب والغاز غير المحترق لذلك فإن سرعة الغاز غير المحترق تعتمد على درجة حرارة اللهب إذ تزداد بزيادة سرعة انتشار اللهب ، ومن هنا نستنتج بأن سرعة جبهة اللهب تزداد بزيادة درجة حرارة اللهب وتقل بنقصانها ، الشكل (2) يوضح تغير سرعة جبهة اللهب مع النسبة المئوية للاحتراق ويلاحظ من الشكل زيادة سرعة جبهة اللهب في الجانب الغني للخليط، إن هذا السلوك لسرعة جبهة اللهب ناتج عن ارتباط سرعة الجبههة بدرجة حرارة اللهب حيث انه بزيادة النسبة المئوية في الجانب الضعيف للخليط تزداد كمية الوقود ومع توفر كمية الأوكسجين الكافية لحرق الوقود احتراقاً تاماً فإن كمية الحرارة المتحررة عن الاحتراق سوف تزداد مما يعني زيادة درجة حرارة اللهب وبالتالي زيادة سرعة جبهة اللهب الناتجة عن ازدياد كل من سرعة انتشار اللهب وسرعة الغاز غير المحترق إما في الجانب الغني للخليط فإن زيادة النسبة المئوية تعني زيادة كمية الوقود في الخليط بحيث تصبح كمية الأوكسجين المتوفرة في الخليط غير كافية لحرق الوقود حرقاً تاماً مما يسبب احتراقاً غير تام للوقود وينتج عنه تكون غاز أول أو أكسيد الكربون (CO) وهو الأمر الذي يؤدي إلى انخفاض كمية الحرارة المتحررة عن الاحتراق وبالتالي انخفاض درجة حرارة اللهب وكذلك سرعة جبهة اللهب .

إن الفرض من قياس سرعة جبهة اللهب هو حساب سرعة انتشار اللهب والتي تمثل ثابت فيزيو كيميائي للخليط ، وحساب سرعة انتشار اللهب تم اعتماد طريقة نسبة

الكثافة التي أوردها الباحث (8) والتي توضح العلاقة بين سرعة انتشار اللهب وسرعة جبهة اللهب بالمعادلة التالية :

$$S_{u} = \frac{P_b}{P_u} S_r \quad (2)$$

حيث إن ( $P_u$ ) كثافة الخليط قبل الاحتراق و ( $P_b$ ) هي كثافة الخليط الناتج عن الاحتراق ، والحقيقة إن الصعوبة الأساسية تكمن في حساب كثافة الغازات الناتجة عن الاحتراق والصعوبة تأتي بسبب تأثير سمك جبهة اللهب الذي يسبب اختلاف درجة حرارة اللهب الحقيقية عن درجة الحرارة الأديباتية بسبب انتقال الحرارة ، وهذه المشكلة تكون واضحة عند العمل في الضغوط الرطبة حيث يكون سمك جبهة اللهب كبيراً ، ولتغلب على هذه المشكلة يمكن اعتماد الأسلوب الذي استعمله الباحث (8) حيث إن :

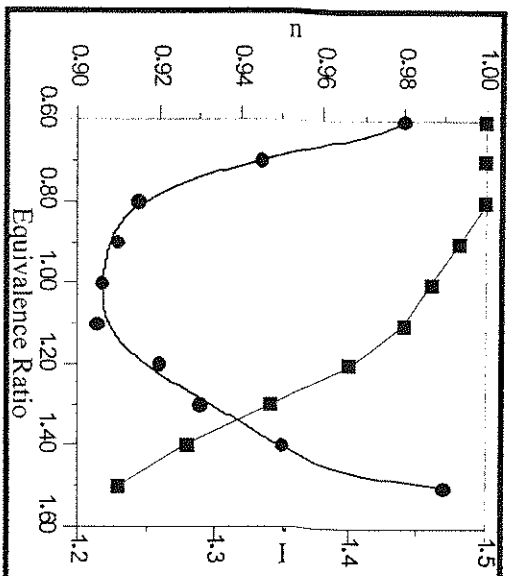
$$\frac{P_b}{P_u} = \frac{T_u}{T_{ad}} \frac{I}{n} \quad (3)$$

حيث  $T_u$  درجة حرارة الغاز غير المحترق و  $T_{ad}$  درجة حرارة اللهب الأديباتية و  $I$  معامل تصحيح و  $n$  نسبة عدد مولات نواتج الاحتراق الى عدد مولات المتفاعلات .  
 تم اعتماد تغير  $I$  و  $n$  مع النسبة المكافئة الموضحة في الشكل (3). وللتقليل من نسبة الخطأ في حساب سرعة انتشار اللهب باستخدام هذه الطريقة يجب أن تكون درجة حرارة اللهب الأديباتية ( $T_{ad}$ ) قريبة من درجة حرارة اللهب الحقيقية ، ودرجة حرارة اللهب تحسب نظرياً على أساس أن التفاعل الكيميائي أثناء الاحتراق هو إجراء أديباتي وهو تفاعل تام مما يؤدي إلى كون القيم المحسوبة نظرياً أكبر من قيم درجة حرارة اللهب الحقيقية ومن ثم تكون قيم سرعة انتشار اللهب اقل من القيم الحقيقية ، والسبب في ذلك يعود إلى أمرين أولهما هو أن الاحتراق ليس عملية أديباتية والثاني هو حصول ظاهرة الانفكك (Dissociation) عند درجات الحرارة العالية مما يعمل على تقليل درجة حرارة اللهب . في هذا البحث تم حساب درجة حرارة اللهب الأديباتية مع إدخال ظاهرة الانفكك على اعتبار أن نواتج الاحتراق مكونة من (19) مركباً في حالة عدم

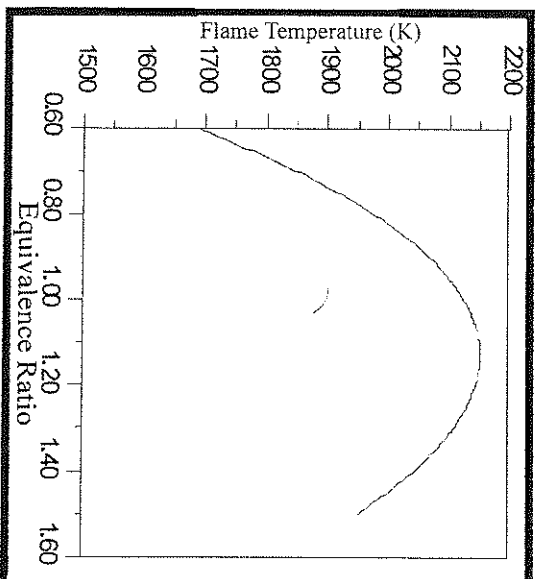


استخدام تقنية الليزر في قياس سرعة جبهة اللهب

وجود التفتكك فإنها تتكون من ( $\text{H}_2\text{O}$ ,  $\text{CO}$ ,  $\text{N}_2$ ) والشكل (4) يوضح تغير درجة حرارة اللهب الأديباتية مع النسبة المكافئة [14].

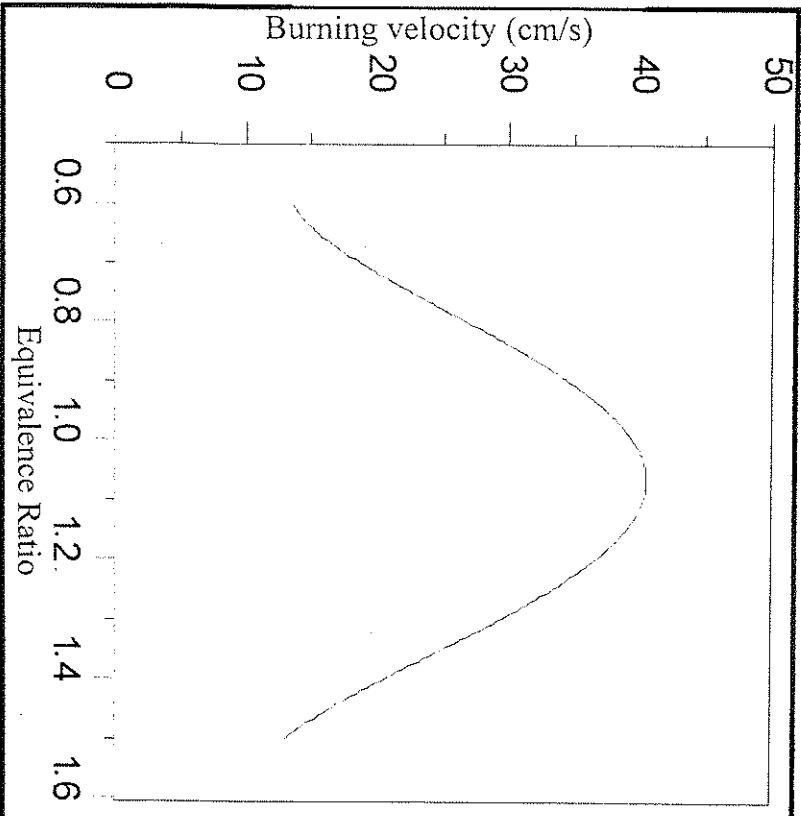


شكل (3) تغير قيم  $I, n$  مع تغير النسبة المكافئة



شكل (4) تغير درجة حرارة اللهب مع تغير النسبة المكافئة

درجة حرارة الغاز غير المحترق  $T_u$  تم قياسها بواسطة المزودج الحراري الثابت في غلاية الأنيوب ، ومن خلال المعادلة (2) تم حساب سرعة انتشار اللهب والشكل (5) يوضح تغير سرعة انتشار اللهب المحسوبة مع النسبة المكافئة .



شكل(5) تغير سرعة انتشار اللهب الطباقيّة مع تغير النسبة المكافئة

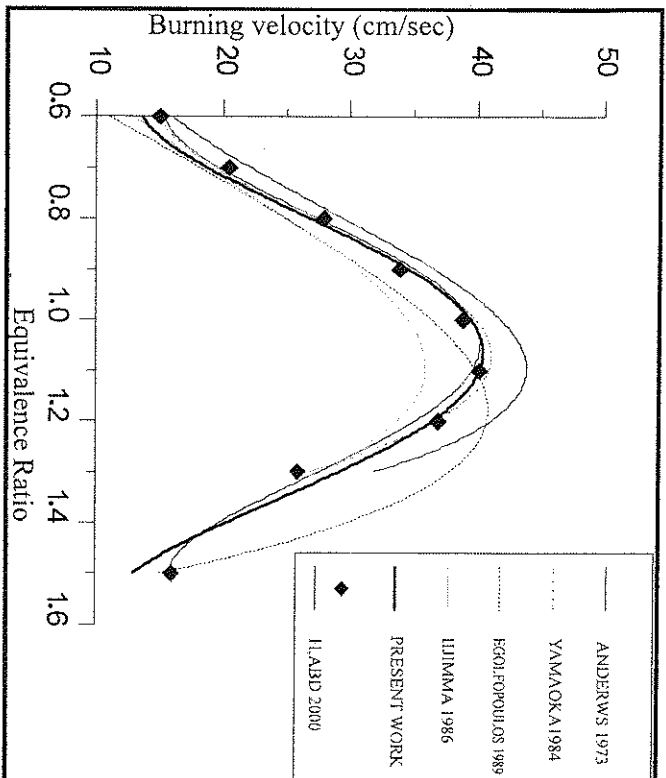
نلاحظ من شكل (5) إن سرعة انتشار اللهب تزداد مع اقتراب نسبة الخلط من نسبة الخلط الصحيحة، ثم تبدأ تقل مع وصول نسبة الخلط الى نسبة الخلط الثابتة والسبب في ذلك هو إن الخليط الثقي يختار بارتفاع قسّم الخواص الحرارية وخاصة الموصلية الحرارية مما يؤدي إلى زيادة كمية الحرارة المنقولة من الخليط إلى جدار الأنبوب وهذا هو الأمر الذي يحد من ارتفاع درجة حرارة اللهب وبالتالي يقلل من سرعة جبهة اللهب .

نظريا كان من المفترض أن تحصل القيم العظمى لسرعة جبهة اللهب عند نسبة الخلط الكيميائي الصحيح (1 =  $\phi$ ) ولكن النتائج العملية أثبتت أن هذه القيم تحصل عند خلط غني بنسبة قليلة وهذه الحالة ناتجة عن تأثير ظاهرة التفكك التي تحصل عند درجات الحرارة العالية بحيث تجعل القيمة العظمى لدرجة حرارة اللهب لا تحصل عند نسبة الخلط الكيميائي الصحيح وإنما عند خلط غني قليلا وبسبب ارتباط سرعة جبهة اللهب بدرجة حرارتها فان سرعة جبهة اللهب العظمى تحصل عند نسبة الخلط التي تعطى درجة حرارة عظمى أي عند (1.1 =  $\phi$ ).

### 2-3 سرعة انتشار اللهب :-

إن حساب سرعة انتشار اللهب يعتبر الهدف الأساسي لهذا البحث إذ أنها تمثل ثابت فيزيو كيميائي ، ويمكن من خلال مقارنة النتائج التي تم الحصول عليها في هذا البحث مع نتائج البحوث المنشورة التأكد من سلامة استخدام نظام القياس .

يلاحظ من الشكل (5) والذي يمثل تغير سرعة انتشار اللهب مع النسبة المكافئة بان قيم سرعة انتشار اللهب الطباقية تزداد بازدياد النسبة المكافئة في الجانب الضعيف للخلط إلى أن تصل إلى قيمة عظمى (1.1 =  $\phi$ ) وبعدها تبدأ بالانخفاض مع زيادة النسبة المكافئة وهي بذلك تشابه سلوك سرعة جبهة اللهب ، إن هذا السلوك ناتج عن تناسب سرعة انتشار اللهب الطباقية مع معدل التفاعل الكيميائي والذي بدوره يتناسب طرديا مع درجة حرارة اللهب. الشكل (6) يمثل مقارنة نتائج سرعة انتشار اللهب التي تم الحصول عليها في هذا البحث مع عدد من النتائج العملية والتي يتم الحصول عليها باستخدام طرق مختلفة مبنية في الشكل ، حيث نلاحظ من الشكل التفاروت بين هذه القيم بسرعة انتشار اللهب مع اختلاف التقنيات المستخدمة في قياسها وحسابها ، كما إن النتائج التي تم الحصول عليها في هذا البحث تعتبر جيدة مقارنة مع النتائج المنشورة سابقا.



شكل (6) مقارنة تغير سرعة انتشار اللهب الطباقية المستحصلة

في هذا البحث مع عدة بحوث سابقة

### المصادر

- 1- Phylaktou, H. and Andrews, G.E " the combustion Institute , section Francaise - British section " 18 - 21 April , Rouen - France - p179 (1987).
- 2- Cilder. O, "Combustion and Flame " vol. 56,p-261,(1984).
- 3- Iijima T and Takeno. T. "Combustion and Flame "vol .65,p\_35,(1986).
- 4- Andrews, GF and Bradley, D. " Combustion and Flame " vol . 20 , p\_77, (1973) .
- 5- Koroll, G. W, Kumar ,k and Bowles, E\_w "Combustion and Flame "vol . 94 ,p\_330 , (1993) .
- 6- Egolopoulos .F. N and low. C. K " Combustion and Flame "vol.80 ,p\_7, (1990).
- 7- AL \_Khishali , K. J "Turbulent Flame Propagation and

- Quenching " Ph . D .Thesis , Department of Mechanical Engineering University of Leeds (1984).
- 8- Culder .0, "combustion science and Technology "vol. 33 , p \_179 (1983).
- 9- Gunther , R, and Janisch , G ."Combustion and Flame " vol. 19 , p \_49, (1972).
- 10- Sharma , R .p, Agarwar , D.D ., and Gupta C. P "Eighteenth Symposium (International) on Combustion ", Reinhold , New York, P493 (1981).
- 11- Babkin , V .S ., Wyun , A .V ., and Kozachenko , L .S ., " Combustion , Explosion and Shock Waves " vol .2,p \_46 ,(1966).
- 12- Tsatsaronis , G ., "Combustion and Flame" vol. 33 ,p \_217 ,(1978).
- 13- Yanaoka , I ., and Tsuji , H ., " Twentieth Symposium (International) on Combustion ", The Combustion Institute Michigan ,P89 (1984).
- 14 - حيدر عبد و اخرون، "استخدام التقنية البصرية في قياس سرعة جبهة اللمب"، مجلة البحوث الصناعية، العدد التاسع عشر، 9-2000.